

九州産業大学

正会員

崎山正常

九州産業大学

正会員

○細川土佐男

九州産業大学

学生員

林正国

1. まえがき 本報では、図-1に示すように上層淡水の自由水面が地表下に形成されている一般的な海岸付近の透水性地盤においてABCDなる淡水層とDCGHなる塩水層とにおける取水と排水との解析の対象とする。^{1)~3)}

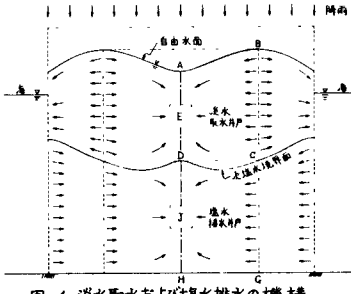


図-1 淡水取水および塩水排水の機構

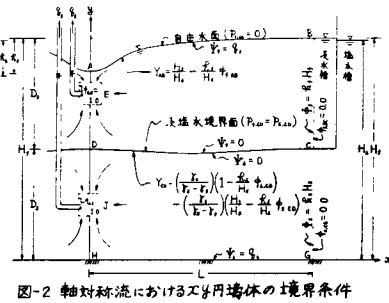


図-2 軸対称流における円筒形構造の境界条件

2. 数値解析 対象とする流れの場が図-2に示すような y 軸を対称軸にとる軸対称流の場合には

$$U = \frac{\partial \Psi}{\partial x}, \quad V = \frac{\partial \Psi}{\partial y} = -\frac{\partial \Psi}{\partial x}, \quad \frac{\partial^2 \Psi}{\partial x^2} + \frac{\partial^2 \Psi}{\partial y^2} + \frac{1}{x} \frac{\partial \Psi}{\partial x} = 0, \quad \frac{\partial^2 \Psi}{\partial x^2} + \frac{\partial^2 \Psi}{\partial y^2} - \frac{1}{x} \frac{\partial \Psi}{\partial x} = 0 \quad (2)$$

が成立する。ただし、この場合の Ψ はStokesの流れ関数、 Ψ は速度ボテンシャルである。まず図-2に示す流れの場の任意点 (x, y) について $x = x/H_s, y = y/H_s$ \dots (3)

なる無次元化をほどこし、次に $(\phi_f, \psi_f), (\phi_s, \psi_s)$ について

$$\phi_f = (k_s H_s - \psi_f) / (k_s H_s), \quad \psi_f = \psi_f / (k_s H_s) \quad (4)$$

$$\phi_s = (k_s H_s - \psi_s) / (k_s H_s), \quad \psi_s = \psi_s / (k_s H_s) \quad (5)$$

なる無次元化を行なう。ただし、 $\phi_s = k_s \{(\phi_s / \psi_s) + y\}$ \dots (6)

$\psi_s = k_s \{(\phi_s / \psi_s) + y\}$ \dots (7) である。そこで $P_{s,cd} = P_{s,co}$ なる境界条件を用いると

$$Y_{cd} = \left(\frac{\phi_s}{\phi_s - \psi_s} \right) \left(1 - \frac{P_{s,co}}{H_s} \cdot \phi_{s,cd} \right) - \left(\frac{\phi_s}{\phi_s - \psi_s} \right) \left(\frac{H_s}{H_s} - \frac{\phi_s}{H_s} \cdot \phi_{s,cd} \right) \quad (8)$$

書きかえて $\phi_{s,cd} = f_1(\phi_{s,cd}, Y_{cd})$ \dots (8)' $\phi_{s,cd} = f_2(\phi_{s,cd}, Y_{cd})$ \dots (8)''

がえられ、また特に $P_{s,co} = P_{s,c}$, $P_{s,cd} = P_{s,d}$ および $y_c = y_d = D_s$ を適用すると

$$\phi_{s,c} / H_s = (\phi_s / \psi_s) (\phi_{s,d} / \phi_{s,c}) (k_s / H_s) \quad (9)$$

$$H_s / H_s = (\phi_s / \psi_s) - \{(\phi_s - \psi_s) / \phi_s\} (D_s / H_s) \quad (10)$$

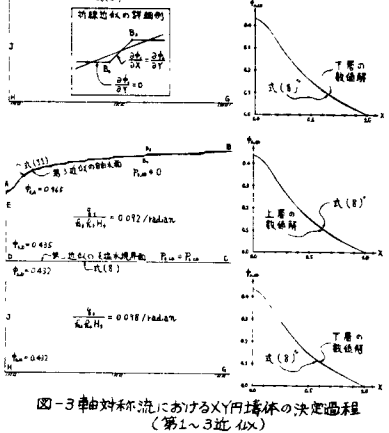
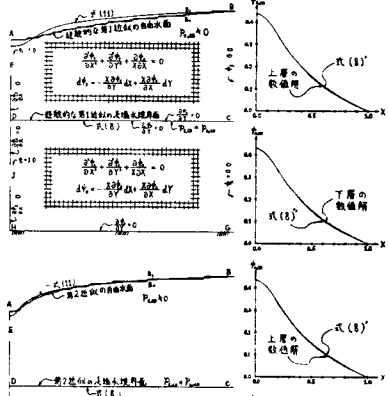
なる地下密度流的特性式がえられる。また、自由水面の式は式(4)の第1式と式(6)および $P_{s,ab} = 0$ なる条件より

$$Y_{ab} = (H_s / H_s) - (\phi_s / H_s) \cdot \phi_{s,ab} \quad (11)$$

書きかえて $\phi_{s,ab} = \{(H_s / H_s) - Y_{ab}\} / (k_s / H_s)$ \dots (11)'

がえられる。

さて、与えられた流れの場の諸元に対して、これらの関係と図-3の上部に示す境界条件を満足するX-Y円筒形を求める過程について述べる。まず始めに、経験的な近似淡塩水境界面、近似自由水面および

図-3 軸対称流における円筒形構造の決定過程
(第1~3近似)

その他の固定境界面で解析の対象とする領域を画定する。次に、この両曲面を図-3の中央部に示すように、その近傍の格子線を通る近似的折面境界で表わし、これらによって画定された上層および下層の領域をそれぞれ第1近似のXY円墻体とし、これらの中でそれぞれ中_sおよび中_t、中_sの数値解を求める。そこでこの場合の数値解による中_{s,CD}と式(8)'に下層の数値解による中_{s,CD}および折面上のY_{CD}を適用して算定される中_{s,CD}とがほぼ一致すれば近似の淡塩水境界面CD上でP_{s,CD} = P_{a,CD}が保証され、同時に、この場合の中_{s,AB}を式(11)に適用して算定されるY_{AB}が近似のY_{AB}にはほぼ一致すれば近似の自由水面A上でP_{s,AB} = 0が保証される。もし一致の度合が不十分であると考えられる場合には、上記の数値解による中_{s,CD}および中_{t,CD}を用いて式(8)で算定されるY_{CD}と数値解による中_{s,AB}を用いて式(11)で算定されるY_{AB}とをめやすとして両曲面を再近似し、これらについて同様な数値解を求め一致の度合が十分であると考えられるまで数回の試行を実施すればよい。

次に、下層排水を行なわないで、上層取水のみを行なう場合の流れの場は図-5のようになり、この場合には式(8)、式(8)'にかわり

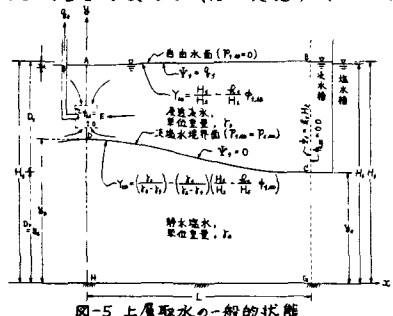


図-5 上層取水の一般的な状態

$$Y_{CD} = \left(\frac{R_f}{R_s - R_f} \right) - \left(\frac{R_f}{R_s - R_f} \right) \left(\frac{H_f - R_f}{H_s - R_f}, \phi_{s,CD} \right) \quad (12)$$

書きかえて $\phi_{s,CD} = f(Y_{CD})$ (12)' がえられ、また、式(9)、

$$\frac{R_f}{H_s} = \left(\frac{R_s - R_f}{R_f} \right) \left(\frac{Y_0 - Y_0}{\phi_{s,CD}} \right) \quad (13)$$

$$\frac{H_f}{H_s} = \frac{R_s}{R_f} - \left(\frac{R_s - R_f}{R_f} \right) Y_0 \quad (14)$$

がえられる。なお、これらの関係と与えられた境界条件を満足するXY円墻体を求めるには、前述の過程と同様な試行を行えばよい。

3. 検討 図-4と図-5に示す淡塩水境界面の頂点が井戸の下端に達した限界状態である図-7とのそれぞれのg_fを比較してみるため同じ R_sH_s²/radian であらわせば、それぞれ g_f = 0.01886 R_sH_s²/radian, g_f = 0.00046 R_sH_s²/radian となる。従ってこれらの比は 0.01886:0.00046 = 41:1 となり上層取水可能量に寄与する下層排水の効果は極めて顕著に現われている。

なお、上述の解析結果を検証するため砂模型実験の結果については講演時にふれる計画である。

- 文献
- 1) 嶋山正常ほか3名：海岸付近の淡水池地盤における効率的な上層取水の一方法、土木学会論文報告集、第291号、pp.85~99、1979年11月。
 - 2) 嶋山正常ほか3名：海岸付近の通常砂層地盤における効率的な上層取水の一方法、土木学会論文報告集へ投稿中。
 - 3) 嶋山正常ほか3名：海岸付近の淡水池地盤における井戸からの効率的取水について、本講演概要集内。

$$\begin{aligned} L/H_s &= 1.000, \quad Y_s/H_s = 0.750, \quad Y_a/H_s = 0.800 \\ Y_s/H_s &= 0.700, \quad Y_a/H_s = 0.500, \quad Y_b/H_s = 0.500 \\ Y_s/H_s &= 0.250, \quad Y_a/H_s = 0.300, \quad Y_b/H_s = 0.200 \end{aligned}$$

$$\begin{aligned} R_s/H_s &= 0.20, \quad R_s/H_s = 0.19646 \\ h_r/H_s &= 1.025, \quad H_r/H_s = 1.01235 \\ g_r/(R_s H_s) &= 0.092/radian, \quad g_r/(R_s H_s) = 0.098/radian \\ g_r = 0.01886 R_s H_s^2/radian & \quad g_r = 0.01973 R_s H_s^2/radian \end{aligned}$$

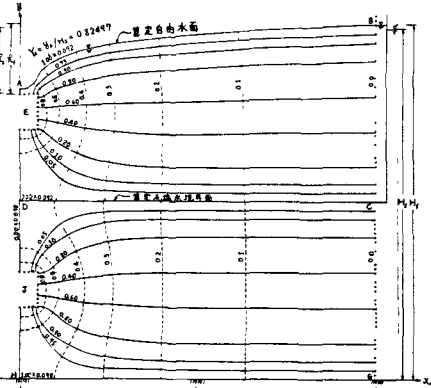


図-4 上層取水および下層排水の数値解析例

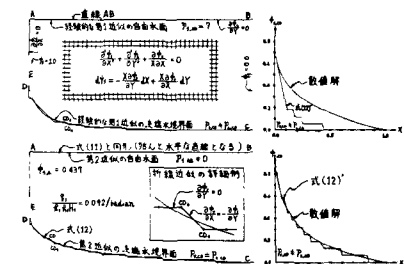


図-6 下層排水中止時の軸対称流におけるXY円墻体の決定過程(第1~2近似)

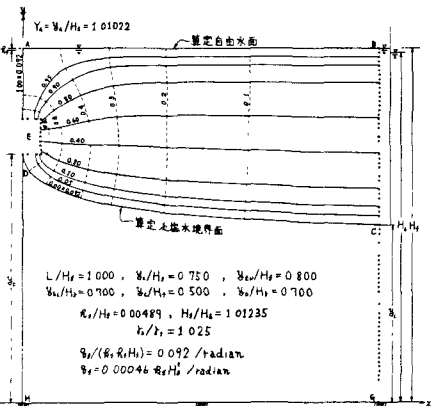


図-7 下層排水中止時の上層取水の数値解析例